


Indicateurs bibliométriques de l'axe *Matériaux inorganiques & Nanostructures*

indice h consolidé* contemporain[†]	30	Sources (mars 2022) : Scopus (Citations, autocitations incluses) <i>ibid.</i> (Field-Weighted Citation Impact) Clarivate Analytics (Journal Citation Reports)	
indice e complémentaire	39,6		
Nombre réel de citations (ΣN)	9610		
Nombre pondéré de citations (ΣNp)	2470,1		
Coefficient global de pondération ($\Sigma Np/\Sigma N$)	0,26		
Indice de citation pondéré (ICP) moyen	11,29		
Facteur d'impact (FI) moyen des revues	13,364		

doi	N	Np [†]	ICP	FI	
10.1016/j.ijhydene.2006.11.022	2439	650,4	18,92	5,816	<i>Int J Hydrogen Energ</i> 32 (2007) 1121-40
10.1038/nature07736	633	194,8	8,47	49,962	<i>Nature</i> 457 (2009) 863-7
10.1016/S0360-3199(01)00103-3	534	106,8	170,55	5,816	<i>Int J Hydrogen Energ</i> 27 (2002) 193-202
10.1038/22493	550	95,7	4,45	49,962	* <i>Nature</i> 400 (1999) 340-2
10.1021/jacs.0c02425	47	94,0	5,14	15,419	* <i>J Am Chem Soc</i> 142 (2020) 9428-38
10.1016/j.msec.2019.109968	70	93,3	7,40	7,328	<i>Mat Sci Eng C-Mater</i> 104 (2019) 109968
10.1063/1.1337623	461	87,8	4,98	3,791	* <i>Appl Phys Lett</i> 78 (2001) 1385-7
10.1021/jp973425p	520	86,7	4,02	2,991	<i>J Phys Chem B</i> 102 (1998) 2854-62
10.1103/PhysRevLett.102.015506	273	84,0	9,63	9,161	<i>Phys Rev Lett</i> 102 (2009) 015506
10.1021/cm991179j	399	72,5	4,32	9,811	* <i>Chem Mater</i> 12 (2000) 3123-32
10.1063/1.477109	394	65,7	8,62	3,488	<i>J Chem Phys</i> 109 (1998) 4981-4
10.1002/adom.202001938	15	60,0	9,79	9,926	* <i>Adv Opt Mater</i> 9 (2021) 2001938
10.1002/adma.201104361	148	59,2	4,06	30,849	<i>Adv Mater</i> 24 (2012) 1540-4
10.1021/jp014543m	286	57,2	3,50	2,991	<i>J Phys Chem B</i> 106 (2002) 10930-4
10.1016/S0040-6090(02)01219-1	268	56,4	9,66	2,183	<i>Thin Solid Films</i> 428 (2003) 257-62
10.1038/nmat836	261	54,9	8,85	43,841	* <i>Nat Mater</i> 2 (2003) 185-9
10.1039/b003193n	281	53,5	4,79	6,626	* <i>J Mater Chem</i> 11 (2001) 186-92
10.1063/1.2711277	188	50,1	3,41	3,791	<i>Appl Phys Lett</i> 90 (2007) 101912
10.1126/science.1081042	232	48,8	2,16	47,728	<i>Science</i> 300 (2003) 310-1
10.1103/PhysRevB.78.155204	168	48,0	2,35	4,036	<i>Phys Rev B</i> 78 (2008) 155204
10.1039/b517778m	166	41,5	5,17	54,564	<i>Chem Soc Rev</i> 35 (2006) 987-1014
10.1016/S0169-4332(00)00251-8	227	41,3	1,52	6,707	<i>Appl Surf Sci</i> 162 (2000) 565-70
10.1016/j.saa.2008.03.032	132	37,7	2,03	4,098	<i>Spectrochim Acta A</i> 71 (2008) 1234-8
10.1016/j.jjrmhm.2011.06.013	89	35,6	3,60	3,871	<i>Int J Refract Met H</i> 30 (2012) 64-70
10.1063/1.5082739	26	34,7	2,53	2,546	<i>J Appl Phys</i> 125 (2019) 130901
10.1016/j.fluid.2004.06.038	150	33,3	2,39	2,775	<i>Fluid Phase Equilib</i> 222 (2004) 67-76
10.1021/jp0006532	176	32,0	8,97	2,991	<i>J Phys Chem B</i> 104 (2000) 6773-6
10.3103/S1063457609050013	103	31,7	4,01	0,780	<i>J Superhard Mater</i> 31 (2009) 285-91
10.1016/S0022-3697(01)00030-0	165	31,4	2,00	3,995	<i>J Phys Chem Solids</i> 62 (2001) 1331-4
10.1557/JMR.1995.0077	209	31,0		3,089	* <i>J Mater Res</i> 10 (1995) 77-83

* Prise en compte de publications antérieures à l'affectation au LSPM.

[†] Pour le calcul de cet indice, le nombre N de citations est multiplié par 4 et divisé par le nombre d'années écoulées.